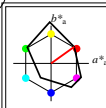


Siehe ähnliche Dateien: <http://www.ps.bam.de/YG62/>
Technische Information: <http://www.ps.bam.de> Version 2.1, io=1,1

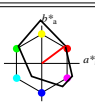
BAM-Registrierung: 20061101-YG62/L62G00N1.PS/TEXT
Anwendung für Beurteilung und Messung von Drucker- oder Monitorsystemen
BAM-Material-Code=nahta
©/G620 Form 1.8, Seite 11.1, Seite 1



%Umfang
 $u^*_{rel} = 114$
%Regelartigkeit
 $g^*_{H,rel} = 28$
 $g^*_{C,rel} = 43$

FRS06
 $L^*=L^*_a \quad a^*_a \quad b^*_a \quad C^*_{ab,a} \quad h^*_{ab,a}$

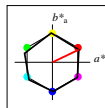
OM	32.57	61.14	43.72	75.16	36
YM	82.73	-3.5	109.24	109.3	92
LM	39.43	-62.86	42.8	76.06	146
CM	47.86	-27.72	-37.61	46.74	234
VM	10.16	53.56	-62.91	82.63	310
MM	34.5	79.53	-36.76	87.62	335
NM	6.25	-1.62	-1.72	2.38	227
WM	91.97	-0.17	-5.1	5.11	268
RCIE	39.92	58.74	27.99	65.07	25
JCIE	81.26	-2.88	71.56	71.62	92
GCIE	52.23	-42.41	13.6	44.55	162
BCIE	30.57	1.41	-46.46	46.49	272



%Umfang
 $u^*_{rel} = 115$
%Regelartigkeit
 $g^*_{H,rel} = 28$
 $g^*_{C,rel} = 38$

FRS06a; adaptierte CIELAB-Daten
 $L^*=L^*_a \quad a^*_a \quad b^*_a \quad C^*_{ab,a} \quad h^*_{ab,a}$

OMa	32.57	62.32	46.49	77.75	37
YMa	82.73	-3.16	113.99	114.03	92
LMa	39.43	-61.79	45.84	76.95	143
CMa	47.86	-26.79	-34.24	43.49	232
VMa	10.16	55.12	-61.03	82.24	312
MMa	34.5	80.68	-33.92	87.52	337
NMa	6.25	0.0	0.0	0.0	0
WMa	91.97	0.0	0.0	0.0	0
RCIE	39.92	59.8	31.05	67.38	27
JCIE	81.26	-2.52	76.25	76.29	92
GCIE	52.23	-41.56	17.14	44.96	158
BCIE	30.57	2.63	-43.77	43.86	273

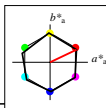


%Umfang
 $u^*_{rel} = 100$
%Regelartigkeit
 $g^*_{H,rel} = 78$
 $g^*_{C,rel} = 100$

NRS18a; adaptierte CIELAB-Daten
 $L^*=L^*_a \quad a^*_a \quad b^*_a \quad C^*_{ab,a} \quad h^*_{ab,a}$

OMa	56.71	69.87	33.29	77.4	25
YMa	56.71	-3.1	77.34	77.4	92
LMa	56.71	-73.68	23.63	77.39	162
CMa	56.71	-61.81	-46.54	77.39	217
VMa	56.71	2.35	-77.34	77.39	272
MMa	56.71	66.07	-40.3	77.4	329
NMa	18.01	0.0	0.0	0.0	0
WMa	95.41	0.0	0.0	0.0	0
RCIE	39.92	58.74	27.99	65.07	25
JCIE	81.26	-2.88	71.56	71.62	92
GCIE	52.23	-42.41	13.6	44.55	162
BCIE	30.57	1.41	-46.46	46.49	272

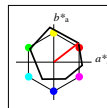
Workflow-Wahlen
für Farbmuster:
1. keine Farbänderung
2. Bunton-Änderung
3. Buntheits-Änderung



%Umfang
 $u^*_{rel} = 100$
%Regelartigkeit
 $g^*_{H,rel} = 78$
 $g^*_{C,rel} = 100$

NRS18a; adaptierte CIELAB-Daten
 $L^*=L^*_a \quad a^*_a \quad b^*_a \quad C^*_{ab,a} \quad h^*_{ab,a}$

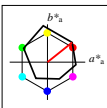
OMa	56.71	69.87	33.29	77.4	25
YMa	56.71	-3.1	77.34	77.4	92
LMa	56.71	-73.68	23.63	77.39	162
CMa	56.71	-61.81	-46.54	77.39	217
VMa	56.71	2.35	-77.34	77.39	272
MMa	56.71	66.07	-40.3	77.4	329
NMa	18.01	0.0	0.0	0.0	0
WMa	95.41	0.0	0.0	0.0	0
RCIE	39.92	58.74	27.99	65.07	25
JCIE	81.26	-2.88	71.56	71.62	92
GCIE	52.23	-42.41	13.6	44.55	162
BCIE	30.57	1.41	-46.46	46.49	272



%Umfang
 $u^*_{rel} = 93$
%Regelartigkeit
 $g^*_{H,rel} = 57$
 $g^*_{C,rel} = 59$

ORS18a; adaptierte CIELAB-Daten
 $L^*=L^*_a \quad a^*_a \quad b^*_a \quad C^*_{ab,a} \quad h^*_{ab,a}$

OMa	47.94	65.39	50.52	82.63	38
YMa	90.37	-10.26	91.75	92.32	96
LMa	50.9	-62.83	34.96	71.91	151
CMa	58.62	-30.34	-45.01	54.3	236
VMa	25.72	31.1	-44.4	54.22	305
MMa	48.13	75.28	-8.36	75.74	354
NMa	18.01	0.0	0.0	0.0	0
WMa	95.41	0.0	0.0	0.0	0
RCIE	39.92	58.66	26.98	64.57	25
JCIE	81.26	-2.16	67.76	67.79	92
GCIE	52.23	-42.25	11.76	43.87	164
BCIE	30.57	1.15	-46.84	46.86	271



%Umfang
 $u^*_{rel} = 94$
%Regelartigkeit
 $g^*_{H,rel} = 58$
 $g^*_{C,rel} = 54$

ORS18
 $L^*=L^*_a \quad a^*_a \quad b^*_a \quad C^*_{ab,a} \quad h^*_{ab,a}$

OM	47.94	65.31	52.07	83.53	39
YM	90.37	-11.15	96.17	96.82	97
LM	50.9	-62.96	36.71	72.89	150
CM	58.62	-30.62	-42.74	52.59	234
VM	25.72	31.45	-44.35	54.38	305
MM	48.13	75.2	-6.79	75.51	355
NM	18.01	0.5	-0.46	0.69	317
WM	95.41	-0.98	4.76	4.86	102
RCIE	39.92	58.74	27.99	65.07	25
JCIE	81.26	-2.88	71.56	71.62	92
GCIE	52.23	-42.41	13.6	44.55	162
BCIE	30.57	1.41	-46.46	46.49	272